

## ЭЛЕКТРОМАГНИТНЫЕ ПРОЦЕССЫ В МНОГОФАЗНОМ МОСТОВОМ ИНВЕРТОРЕ НАПРЯЖЕНИЯ

В. И. ИВАНЧУРА, Б. П. СОУСТИН, Ю. А. ШУРЫГИН

(Представлена научно-техническим семинаром НИИ АЭМ)

В [1, 2, 3] введены коммутационные функции  $F_i$  точки присоединения линии нагрузки  $i$ , которые позволили выразить реакцию инвертора  $Y(n, \varepsilon)$  в общем виде при использовании дискретного преобразования Лапласа [4]. Дискретная функция  $\gamma_i(k)$  — длительность управляющего импульса полностью определяет вид  $F_i$  и является ее времененным отображением.

Если нагрузкой является  $RL$  цепь, то передаточная функция нагрузки по току имеет два полюса  $q=0$  и  $q_1=-\beta=-2\pi ctg \varphi$ , вычтены по которым  $C=1$ ,  $C_1=-1$ . При любом виде широтно-импульсной модуляции квазиустановившаяся составляющая тока инвертора записывается в относительных величинах:

$$\begin{aligned}\bar{I}_{kl}(\varepsilon) &= \frac{4}{m} a^l \frac{e^{-\beta[\varepsilon+1-\gamma_l(k)]}}{1-e^{-\beta}}, \quad 0 \leq \varepsilon \leq \gamma_l k, \\ \bar{I}_{kl}(\varepsilon) &= \frac{4}{m} a^l \left( 1 - \frac{e^{-\beta[\varepsilon-\gamma_l(k)]}}{1-e^{-\beta}} \right), \quad \gamma_l(k) \leq \varepsilon < 1, \\ \bar{I}(\varepsilon) &= \sum_{k=0}^{N-1} \sum_{l=0}^{m-1} \bar{I}_{kl}(\varepsilon).\end{aligned}\quad (1)$$

Ток, потребляемый от источника питания:

$$I_n(\varepsilon) = \frac{1}{2} \sum_{i=1}^m F_i(\varepsilon) \cdot I_i(\varepsilon) = \frac{m}{4} \operatorname{Re} \dot{E}(\varepsilon) \cdot \bar{I}(\varepsilon). \quad (2)$$

Переходная составляющая тока описывается одним выражением

$$\bar{I}_n(n, \varepsilon) = - \frac{4}{m} \sum_{k=0}^{m-1} a^l \frac{e^{-\beta[1+\varepsilon-\gamma_l(k)+n]}}{1-e^{-\beta}}. \quad (3)$$

Для синусоидальной (ШИМС) и прямоугольной (ШИМП) видов модуляции составлены программы расчета квазиустановившихся процессов для ЦВМ типа БЭСМ-4. На печать выводились мгновенные средние и максимальные напряжения, величины тока нагрузки и источника питания при  $m=3$  и различных  $N$ ,  $\mu$ ,  $\operatorname{tg} \varphi$ .

Из анализа расчетных данных видно, что условия обмена реактивной энергией нагрузки (РЭН) между источником и нагрузкой лучше для случая ШИМС, однако компенсация РЭН передачей из фазы в fazу лучше для случая ШИМП.

При равенстве максимальных возвращаемых РЭН для обоих типов модуляции существует граничное отношение несущей и выходной частот

$$N_{rp} = \frac{6,92 \sin^2 \left( \frac{\Psi}{2} - \frac{\pi}{12} \right)}{1 - \sin \left( \frac{\pi}{6} + \varphi \right)}. \quad (4)$$

Из (4) видно, какое  $N$  следует взять для того, чтобы ШИМС была лучше ШИМП. Если  $N > N_{rp}$  физически невозможно реализовать, то следует переходить к ШИМП. Кроме приведенного критерия, используется коэффициент гармоник по току  $K_{rt}$ , и в этом случае существует  $N'_{rp}$ , до которого ШИМП имеет лучший  $K_{rt}$  по сравнению с ШИМС, которое практически не зависит от нагрузки и лежит между 12 и 18.

При одном и том же действующем значении тока первой гармоники средние значения элементов инвертора для обоих видов модуляции приблизительно одинаковы. Для примера на рис. 1 приведены все характерные величины в функции глубины модуляции для  $\operatorname{tg} \varphi = 0,1$ .

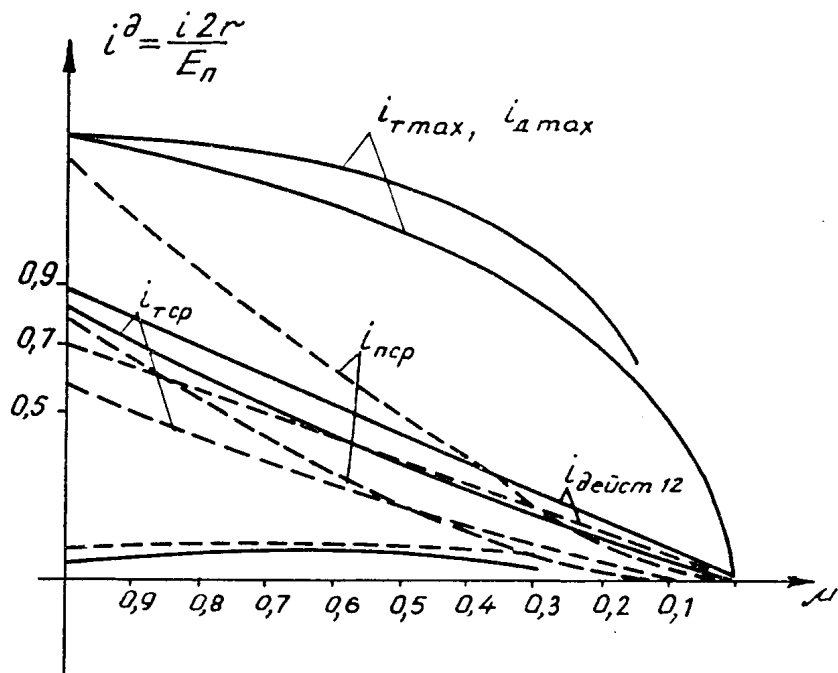


Рис. 1.

Ошибка в определении значений токов и максимальной возвращаемой РЭН по приближенным выражениям [5] и полученным зависит от  $\operatorname{tg} \varphi$ ,  $N$ ,  $\mu$  и значительно увеличивается с уменьшением  $\mu$ ,  $N$  и  $\operatorname{tg} \varphi$ . Так, при  $N=6$ ,  $\operatorname{tg} \varphi=0,5$  и  $\mu=0,1$  ошибка достигает до 20%.

Можно показать, что существует критическое значение  $\operatorname{tg} \varphi$ , до которого РЭН в источник не возвращается. Для определения  $\operatorname{tg} \varphi_{kp}$  использован метод наложения.

Условие для исходного уравнения является равенство тока источника питания нулю в начале координат  $i_p(0)=0$ . Фиктивный ток первой фазы

$$i_{\Phi'}(\varepsilon) = \sum_{k=0}^{N_1-1} C_1(k) \cdot C_0 \cdot i(k) + \sum_{k=0}^{N_1-1} \sum_v \frac{C_1(k) C_v e^{q_v [\varepsilon + \gamma_1'(k)]}}{1 - e^{q_v}}. \quad (5)$$

Учитывая, что

$$\begin{aligned} C = 1, \quad C_v = 1_1 = -1, \quad q_v = -\beta \\ C_1(0) = 1 \quad \lambda(0) = 1; \quad \gamma_1'(0) = 0; \\ C_1(1) = -2; \quad \lambda(1) = 0; \quad \gamma_1'(1) = 1/2; \\ C_1(2) = 1; \quad \lambda(2) = 0; \quad \gamma_1'(2) = 0, \end{aligned}$$

определяется фиктивный ток на интервале

$$i_{\phi}'(\varepsilon) = 1 - \frac{2}{1 + a^m} e^{-\beta\varepsilon} = 1 + Ce^{-\beta\varepsilon}, \quad (6)$$

где  $a = e^{-\frac{\beta}{2m}}$

В силу симметрии

$$i_{\phi}'\left(\varepsilon + \frac{1}{2}\right) = -i_{\phi}'(\varepsilon).$$

Учитывая, что при нечетном числе фаз  $m$  число отрицательных  $F$ -функций 0,5 ( $m-1$ ), положительных 0,5 ( $m+1$ ), после преобразований при соединении нагрузки в звезду определяется ток источника питания

$$i_p(\varepsilon) = \frac{m^2 - 1}{m} - \frac{2(m-1)}{m(1+a)} e^{-\beta\varepsilon} - \frac{4}{1+a^m} \sum_{l=1}^{\frac{m-1}{2}} a^{2l-1} e^{-\beta\varepsilon}. \quad (7)$$

Из (7) после освобождения от лишних корней получается уравнение для определения  $a_{kp}$

$$\sum_{l=0}^{\frac{m-1}{2}} \left\{ \left( \frac{m^2 - 1}{m} - \frac{m+1}{2} - 1 \right) a_{kp}^{m-2(l+1)} - \left[ \frac{(m-1)^2}{4} - \frac{m-1}{2} - 1 \right] a_{kp}^{2l} \right\} = 0. \quad (8)$$

Аналогичные рассуждения позволяют получить выражение для нечетного количества фаз  $m$  и соединения нагрузки в многоугольник

$$a_{kp}^{m-2} + a_{kp}^m (1 - a_{kp}^{-1}) \sum_{l=1}^{\frac{m+1}{2}} a_{kp}^{-2l} = 0. \quad (9)$$

При четном числе фаз и соединении нагрузки в звезду и многоугольник

$$\sum_{l=0}^{\frac{m}{2}-1} \left( \frac{m}{2} - 2l \right) a_{kp}^{\frac{m}{2}-(l+1)} = 0, \quad (10)$$

$$a_{kp}^{m-2} = 0. \quad (11)$$

Из (8)-(10) видно, что лучшим вариантом использования многофазного инвертора при работе на активно-индуктивную нагрузку с точки зрения возвращаемой в источник РЭН является инвертор с нечетным числом фаз при соединении нагрузки в звезду. При несовпадении числа фаз нагрузки с требуемым возможно использование промежуточного преобразователя фаз. Если в качестве нагрузки взят многофазный асинхронный двигатель (а. д.) с короткозамкнутым ротором, то для определения электромагнитных процессов уравнение а. д. следует привести к эквивалентной двухфазной машине

$$\begin{aligned}
 \frac{d\bar{\Psi}_1}{dt} &= \bar{U}_1(t) - (\omega_0 \alpha_s' + j\omega_k) \bar{\Psi}_1 + \omega_0 \alpha_s' k_r \bar{\Psi}_2; \\
 \frac{d\bar{\Psi}_2}{dt} &= -[\omega_0 \alpha_r' + j(\omega_k - \omega)] \bar{\Psi}_2 + \omega_0 \alpha_r' k_s \bar{\Psi}_1; \\
 M &= \frac{m}{2} Z_p \omega_0 \frac{k_r}{x_s \sigma} I_m (\bar{\Psi}_1 \cdot \bar{\Psi}_2); \\
 \frac{d\omega}{dt} &= \frac{Z_p}{J} (M - M_c).
 \end{aligned} \tag{12}$$

Здесь  $\omega_0$ ,  $\omega$ ,  $\omega_k$  — угловая скорость вращения поля статора, ротора и вращения координат;  $\bar{\Psi}_1$ ,  $\bar{\Psi}_2$  — векторы потокосцеплений статора и ротора идеализированного а. д.;  $M$ ,  $M_c$ ,  $I$  — момент двигателя, сопротивления, инерции;  $Z_p$  — число пар полюсов двигателя;  $\alpha_s'$ ,  $\alpha_r'$ ,  $k_r$ ,  $k_s$ ,  $x_s$ ,  $\sigma$  — величины, выраженные через параметры двигателя.

Система (12) существенно нелинейна, однако для случая  $\omega_k = \text{const}$  при нулевых начальных условиях

$$k_i \cdot a \cdot \pi \cdot \bar{F}(q) = (q + 2\pi \cdot a \cdot \alpha_s') \bar{\Psi}_1^\partial(q) - 2\pi a \alpha_s' k_r \bar{\Psi}_2^\partial(q) \tag{13}$$

$$a = -2\pi a \alpha_r' \cdot k_s \bar{\Psi}_1^\partial(q) + (q + 2\pi a \alpha_r' - j2\pi b) \bar{\Psi}_2^\partial(q);$$

откуда находятся обычные векторные передаточные функции

$$\begin{aligned}
 \tilde{K}_1(q) &= \frac{\bar{\Psi}_1^\partial(q)}{\bar{F}(q)} = k_i \cdot \pi \cdot a \frac{q + 2\pi a \left( \alpha_r' - j \frac{6}{a} \right)}{(q - q_1)(q - q_2)}; \\
 \tilde{K}_2(q) &= \frac{\bar{\Psi}_2^\partial(q)}{\bar{F}(q)} = k_i \cdot \pi \cdot a \frac{2\pi a \alpha_r' k_s}{(q - q_1)(q - q_2)}.
 \end{aligned} \tag{14}$$

Здесь

$$\begin{aligned}
 2\pi \cdot a &= \omega_0 T; \quad 2\pi b = \omega T; \\
 q_{1,2} &= -\pi a \left( \alpha_r' + \alpha_s' - j \frac{b}{a} \right) \pm \sqrt{\left( \alpha_r' + \alpha_s' - j \frac{b}{a} \right)^2 + 4\alpha_r' \alpha_s' (1 - b)}.
 \end{aligned}$$

Решение для квазистабилизированных векторов потокосцеплений эквивалентной двухфазной машины при ШИМ по любому закону и совпадении периодов модуляции:

$$\begin{aligned}
 \bar{\Psi}_{1kl}^\partial &= -\frac{4}{m} \left[ C_0^{(1)\lambda}(k) + \sum_v \frac{C_{kv}^{(1)} e^{qv} [\varepsilon + \varepsilon'_1(k)]}{1 - e^{qv}} \right]; \quad \bar{\Psi}_1^\partial = \sum_{k=0}^{N-1} \sum_{l=0}^{m-1} \bar{\Psi}_{1kl}^\partial; \\
 \bar{\Psi}_{2kl}^\partial &= -\frac{4}{m} \left[ C_0^{(2)\lambda}(k) + \sum_v \frac{C_{kv}^{(2)} e^{qv} [\varepsilon + \varepsilon'_1(k)]}{1 - e^{qv}} \right]; \quad \bar{\Psi}_2^\partial = \sum_{k=0}^{N-1} \sum_{l=0}^{m-1} \bar{\Psi}_{2kl}^\partial,
 \end{aligned} \tag{15}$$

где

$$C_v^{(1,2)} = \text{Res}_{q_v} \left\{ \frac{1}{q} K_{1(2)v}(q) \right\}.$$

По (15) составлены алгоритм и программа расчета для ЭЦВМ типа БЭСМ-4. Результаты расчета показывают, что пульсации момента

при ШИМ имеют период  $\frac{1}{2m}$ , при ШИМ<sub>S</sub> —  $\frac{1}{m}$ ,  $m$  — нечетно.

В этом случае также существует  $N''_{\text{гр}}$ , до которого ШИМП лучше ШИМ<sub>S</sub> по величине пульсации момента, которое лежит в пределах 12 и 18.

В случае, если в (15) F-функция имеет  $\mu=1$  при ШИМП и  $N=2$  км, определение векторов потокосцеплений лучше проводить методом наложения.

Ток любой фазы статора или ротора двигателя находится из выражения в относительных единицах

$$i_{si}^{\partial}(\varepsilon) = \operatorname{Re} \left\{ \frac{\alpha_s'}{r_1^{\partial}} [\bar{\psi}_1^{\partial}(\varepsilon) - k_s \bar{\psi}_2^{\partial}(\varepsilon)] \right\}, \quad (16)$$

$$i_{ri}^{\partial}(\varepsilon) = \operatorname{Re} \left\{ \frac{\alpha_r'}{r_2^{\partial}} [\bar{\psi}_2^{\partial}(\varepsilon) - k_s \bar{\psi}_1^{\partial}(\varepsilon)] \right\}.$$

Определение максимальных, средних и действующих значений токов элементов инвертора производится в соответствии с (16) и [1] и имеет зависимость, сходную с рис. 1.

### Выводы

1. Использование коммутационных функций позволяет произвести обобщенный подход ко всем мостовым инверторам напряжения при любом виде модуляции выходного напряжения.

2. Компенсация РЭН передачей из фазы в фазу наиболее приятна при ШИМП и зависит от числа и четности фаз и соединения нагрузки. Предпочтительно нечетное количество фаз и соединение нагрузки в звезду.

3. Энергетические процессы при нечетном числе фаз (ток источника, момент двигателя при постоянной скорости вращения) имеют период повторяемости  $\frac{1}{2m}$  при ШИМП и  $\frac{1}{m}$  при ШИМ<sub>S</sub>.

4. Форма поля машины улучшается с увеличением числа фаз, одновременно уменьшается амплитуда пульсаций момента и скорости.

### ЛИТЕРАТУРА

1. В. И. Иванчура, Б. П. Соустин. Исследование  $m$ -фазных мостовых инверторов напряжения. В сб.: «Повышение эффективности устройств преобразовательной техники». Т. 2, Киев, «Наукова думка», 1972.
2. В. И. Иванчура, Б. П. Соустин. Определение выходных напряжений  $m$ -фазных инверторов через коммутационные функции, Известия ТПИ, т. 262, Томск, изд-во ТГУ, 1972.
3. В. И. Иванчура, Б. П. Соустин. Метод анализа мостовых  $m$ -фазных инверторов напряжения, Известия ТПИ, т. 262, Томск, изд-в-о ТГУ, 1972.
4. Я. З. Цыпкин. Теория линейных импульсных систем. М., Физматгиз, 1963.
5. А. С. Сандлер, Р. С. Сарбатов. Преобразователи частоты для управления асинхронными двигателями. М., «Энергия», 1966.